

II-119 はんらん水の拡りに関する野外実験

東海大學 正員
関東地建 正員
復建エンジニアリング 正員
有賀世治
家原俊二
友近繁治

1. まえがき

河川堤防が破堤した後、はんらん水が堤内地へ刻々拡がつて行く状態を推測するため、その準備段階として、諸条件を單純にした場合の模型実験を種々行つて來ているが、今回機会を得て、やゝ規模の大きい野外実験を行うことができたので、若干の考察を加えて、報告するものである。

2. 野外実験

地盤沈下のため、満潮時には低水路の水位が高水敷高 ($A.P.+14m$) を越える荒川放水路、鹿渓橋上流附近に $75m \times 150m$ の平坦地盤を造成し、低水路に沿つて、小堤を築き、中央地盤に押し倒し式ゲートを備える幅 $2.3m$ の破堤口を作った。破堤口を中心半径 $25m$ までは厚さ $15cm$ のコンクリートを打ち、その外側はシルト質土砂でつき固め、表面を均した。平坦度は水平 $5m$ につれて、 $\pm 1 \sim 3cm$ であった。洪水期にがつたため、多くの回数をこなせながら、溢流深 $0.33m$, $0.48m$, $0.64m$, $0.84m$ の 4 種について、破堤幅を溢流深の 2 倍にとり、地盤上に湛水のない状況ではんらんさせた。刻々の水の拡りはヘリコプター及び橋上からの寫真で記録し、水位の測定は破堤口から $20m$ 以内は斜量水標による寫真観測、その外側は直接測定を行つた。表面流速及び流向の測定には蔡泡スチロール等を流して写真解析を行つた。水位の測定誤差は波などの影響があつて $\pm 2cm$ 程度である。

(写真-1に実験中の状況を示す。)

結果 溢流深が $64cm$ の場合の拡りと水深の時間的変化を図-1 及び 2 に示す。現象は三次元非定常流れであつて、破堤直後は射流状態でやがて滝流状態となり、フロントの周辺附近は底面摩擦が大きく、水面勾配は大きい。(図-2 で射流

写真-1

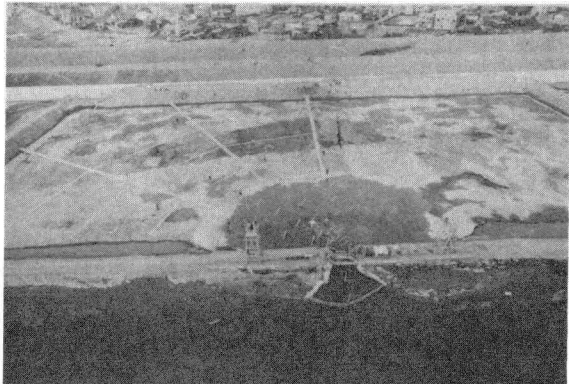


Fig-1

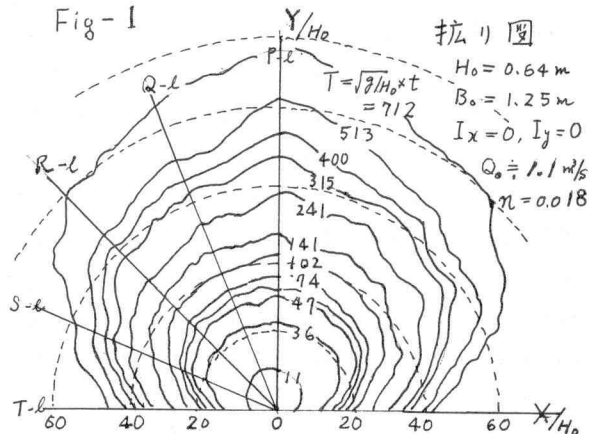
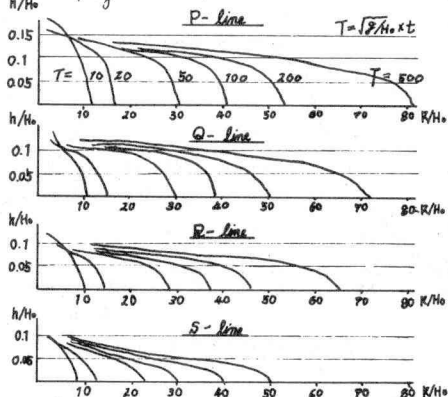


Fig-2 水深変化図



部分と段波の波頭附近の水位の精度はよくない。) 拖りをほぐ円形とみなして、半径の延伸速度(円の中心の移動速度も同傾向)の時間的变化を図示すれば図-3に示すとおりである。これによると $V_R/V_0 = e^{-\lambda_0 t}$ とおいた場合の入の値が破堤直後の射流近辺、これに続く中間部分と、時間がたつて、波頭速度が弱まる部分ある3つに大別できるようである。

3. 考察

破堤後のはんらん水の拖り現象を底面摩擦力を考慮して、三次元波として解説的に解くことは、この野外実験の場合のような單純な条件のもとであっても容易なことではない。そこで筆者らは実際河川の破堤はんらんの場合に概数的にそれによつて起る港水区域や港水度を予測する上に利用できればよいという観点から图形的にアプローチすることを考えた。すなはち、現象の本質を非定常放射状流れとみなし、土砂を含まぬ落下水が地盤と傾いた角度をもつて射出され、(流量は一定とする。) フロントは円形に拖りつつ、その円の中心は移動するものとする。各々の速度変化は、初速、地盤傾斜、地盤粗度などによって影響をうける。速度変化の傾向がわかつければ、作図によつてはんらん区域が求められるとする。いま地盤が水平の場合(地盤勾配があつてもそれが小さい場合は近似的に成り立つ。)について考えた。

ある条件の範囲内で、 $V_{Rt} = V_{R0} \times e^{-\lambda_0 t}$, $V_{xt} = V_{x0} \times e^{-\lambda_1 t}$, $V_{yt} = V_{y0} \times e^{-\lambda_2 t}$ の関係があるとした場合は、破堤後の拖り円は次の式で表わされる。なお V_y が V_x より小さい場合は、堤防に近い部分の円形は修正を要する。 $\{x - V_{x0}/\lambda_1 (1 - e^{-\lambda_1 t})\}^2 + \{y - V_{y0}/\lambda_2 (1 - e^{-\lambda_2 t})\}^2 = V_{R0}^2/\lambda_0^2 (1 - e^{-\lambda_0 t})^2$

この式から円群の包絡線を求めることによって、はんらん区域の外縁が求められる。また、日を円上の点とその中心と結ぶ線の交角とする角度として、

$$y = V_{y0}/\lambda_2 (1 - e^{-\lambda_2 t}) + V_{R0}/\lambda_0 (1 - e^{-\lambda_0 t}) \sin \theta, x = V_{x0}/\lambda_1 (1 - e^{-\lambda_1 t}) + V_{R0}/\lambda_0 (1 - e^{-\lambda_0 t}) \cos \theta$$

の2式から、 θ をパラメーターとしてフロントの拖り流方向を示す式を求めることができる。

図-4に今まで行った実験で得られた拖り円形を示しておく。

次に、地盤勾配の値が大きい場合には V_y は日の値によって異つてくるので、円形がどうにはならぬ。しかしこの場合、形は複雑にはなるが、 V_y を x 、 y 方向にかけて考え、 V_x , V_y と合成すれば、それを代入することによって、走る拖り円形は求められよう。

港水深の場所的、時間的変化については、供給水量と拖り面積から平均水深の累積は求められるし、この実験の結果などから、横断、あるいは縦断方向の水深変化率を仮定すれば、各長の水位変化的累積はつがめよう。このようなことで、はんらん水の拖りによる、港水区域・港水度分布を推測することに実用上の利用価値はでてきよう。問題として残るのは流連減衰係数、入であつて、破堤後の流れの状況につれて、その値を変えていかか変化の原因と、変化率に関する今後の研究を進めて行きたい。野外実験で $H_0 = 84\text{cm}$ の場合、破堤後5秒内は入の値が0.015で時間とともに減じ100秒後では0.06となつた。終りに本実験の実施に協力いただいた建設省荒川下流工事事務所及び神奈川県防災センターの方々、特に共著者として小林満男氏、岸井徳雄氏の御努力に感謝するとともに、有益な御教示をいただいた東洋大学の本間仁教授に深謝の意を表す次第である。

